

1959

黑色金属

# 技术革新资料

3

上海科学技术出版社出版



## 用多角形辊面改善啃入条件

上海市工业馆冶金分馆编

轧钢工作者往往用强化轧制过程的办法来缩短生产周期，从而提高轧机的机时能力，特别是在当前大跃进的形势下，大胆而科学地修改孔型减少轧制道次，已经成为刻不容缓的工作了。

然而在粗轧、毛轧系统中，强化压下量往往被啃入条件所限制，在轧机较小的工厂中这一问题就更为突出。

我厂曾为改善啃入条件做过一段试验工作，目前已谋得较为妥善的方法，限于工作水平只能浮浅介绍，祈望各厂协助研究指正。

### 一、改善啃入条件的重要意义

在一般情况下，分配延伸系数或压下量，都是顺从轧制道次而递减的。

理想情况如图1所示。但实际情况往往因啃入角的限制，迫使曲线形成图2的形式。前几道不能采用较大的延伸系数，这是非常遗憾的事情，在高温阶段不能充分利用动力和设备强

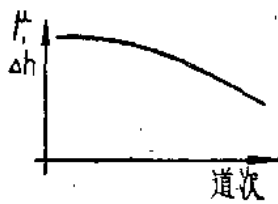


图 1

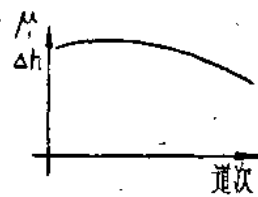


图 2

度进行大压下量变形，设备潜在力不得发挥。

另一种是这样的情况，其前几道的压下量已經等于或稍大于允许压下量—— $\Delta h_{max}$ 。

$$\Delta h_{max} = D_p(1 - \cos\alpha)$$

$D_p$ 为工作辊徑， $\alpha$ 为最大啃入角。

但这时轧制过程的建立就或大或小需要一些外力，在实际生产中影响啃入条件的因素頗多，例如：

1. 工作辊徑的大小(包括轧制速度的变化)；
2. 轧辊表面光洁度；
3. 金屬的种类；
4. 轧制温度以及氧化铁皮的状态。

以上几点往往是經常变化的，因而建立轧制过程的外力也就随着改变，这样，使生产上受到了影响，例如：

1. 初啃入前增加了轧制間歇时间。在一般人工喂鋼或机械喂鋼的情况下，实行强迫喂鋼并不是十分順利的，根据实际的測定，耽擱时间为 2~15 秒鐘，这些時間花費在用外力使軋件撞在轧輶上，将端部形成一定程度的“尖头”以助啃入。

2. 啃入后的打滑現象拖長了轧制时间。当超过允许啃入角时，軋件温度波动和氧化鐵皮的影响，常出現程度不同的打

滑現象。从划出的“阿达曼茨克”图表(图3,4)中可发现前一道的軋制时间与計算数值相差很多，我們把这种現象称作“假軋制时间”。如用它与計算时间相比称它为“虚假系数”——K。

$$K = \frac{t_{\text{虚假}}}{t_{\text{計算}}}$$

在我們厂这个数值曾发生在  $K=7\sim1$  之間，当然后者是采取措施之后的結果。

众所周知，构成軋制周期的因素是軋制时间和間歇時間，而軋制周期的長短是决定机时产量的重要条件之一，因此有必要改善喟入条件。



图3 1格=1秒



图4 1格=1秒

图3是喟入条件未改善前第一道打滑，拖長了“軋制时间”，决定机时产量的节奏時間是8.4秒，而采取措施后虚假系数由1.8降低到1，节奏時間縮短到7.6秒(如图4)。

$$\text{机时能力提高了: } \frac{8.4 - 7.6}{8.4} 100\% = 9.5\%$$

强迫喟入或打滑現象，都会在軋輶上产生很大的冲击力，这样容易造成：

1. 傳动设备如齒輪、軸、接軸等的损坏；

2. 軋輥和机架的疲劳损坏；
3. 軋輥过早磨损；
4. 电机在脉动冲击载荷下工作。

从以上这些事实来看，改善喂入条件不仅可以增加压下量、缩减道次、提高机时产量，同时还能使设备在较为均衡的条件下运转，从而提高了作业率。

## 二、改善喂入条件的方法

自由建立初喂入的条件是：轧制接触角 $\alpha$ 要小于轧件与轧辊的摩擦角 $\beta$ 。因此可以从两方面着手来改善喂入条件：

### 1. 减少接触角 $\alpha$ ：

- (一)减少压下量 $\Delta h$ ；
- (二)增大轧輥直径；
- (三)采用侧压的孔型；
- (四)用尖头轧件(包括銷錠小头喂入)。

### 2. 增大摩擦角 $\beta$ ：

- (一)选用摩擦系数較大的材料制作轧輥；
- (二)用机械加工方法将辊面加工成粗糙的表面；
- (三)用机械加工方法将辊面加工成多角形；
- (四)适当的降低开轧温度。

根据现有的条件，其他因素(輥徑、孔型系統輥子材料、喂入方法、轧制温度等)均已肯定，增大喂入角时，都从辊面形状上着手。

现将我厂曾经試轧过的几种方法列在下面。

試驗条件：

軋机:

輥徑  $\phi 305$ 。

軋輶轉速 98轉/分鐘。

軋輶材料 鐵鋼。

原料 85% 方坯 105% 鋼錠。

鋼種 0~4 号鋼。

加热溫度 1050~1250°C。

孔型系統 自由展寬的平軋孔。

1. 輓面凹痕: 用齒子沿輓面齒成深 3%, 寬 4~5% 的凹痕(圖 5)。

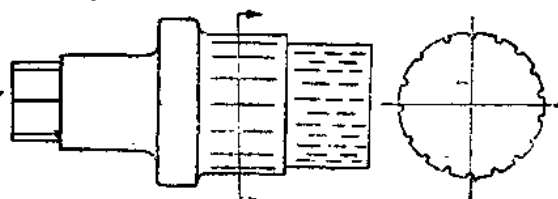


圖 5

不輶時  $a=23\sim25^\circ$ , 凹痕時  $a=26\sim28^\circ$ 。

增大嘴入角約 12~13%。

优点: 加工方便。

缺点: 轧件表面质量受到破坏, 常出現“雀皮”。

2. 輓面焊痕: 用 4% 电焊棒沿輓面焊上凸筋, 然后用齒子齒平成高 3%, 寬 5~7% 的凸痕(图 6)。

$a_{max}=27\sim29^\circ$  增大約 16~17%

优点: 嘴入角增大很多。

缺点: (一) 轧件表面质量不易保証, 时常出現“雀皮”;

(二) 加工較复杂;

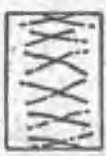
(三) 焊筋部分輻面硬化，重車时带来麻烦。



平行



八字



十字



麻点



图 6

3. 輻面加工成多角形：将輻面刨成适当等分的多角形（图 7）。

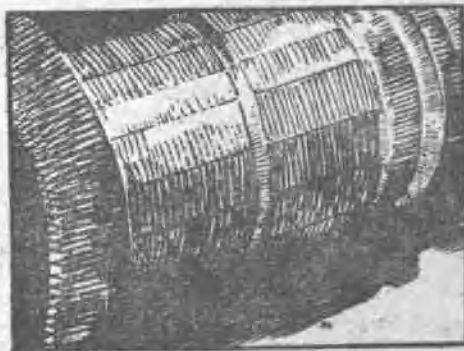


图 7

$$\alpha_{\max} = 26 \sim 28^{\circ}30' \quad \text{增大 } 12 \sim 14\%$$

优点：(一)能够增大啃入角；

(二)成品表面质量得到保证。

缺点：(一)加工麻烦；

(二)展宽系数较大。

### 三、多角形輥面的实用价值

根据以上所談，任何增大啃入角的方法都不能离开质量問題去孤立考慮，否則就不能在生产实际上采用。

我厂曾經試用过上述几种方法，在未用多角形輥面以前虽然增大了啃入角，但是成品的表面缺陷却很严重，鋼材表面时常出現明显的和隐蔽的“雀皮”(图8)，因此无实用价值。

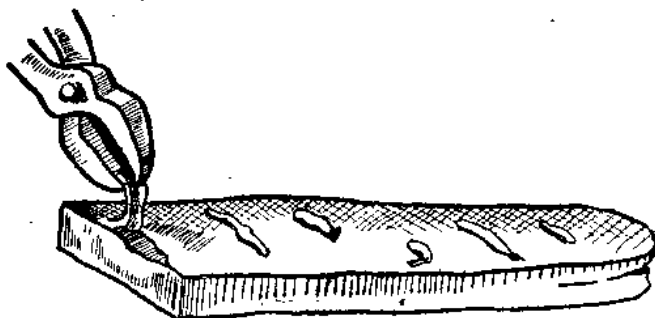


图 8

目前我們采用多角形輥面解决了久未解决的問題，經過一年多的使用，从来未出現过任何缺陷，最近这一方法已推广到綫材車間的毛軋孔上去了。

### 四、多角形輥面的工作情况

改善啃入条件的原因：当輥輥材料、輥件性质、温度、压下量肯定时，用光面輥进行啃入的情形如图9，它的特点是一經接触，角  $\alpha = \phi$ ， $\phi$  角也不因輥輥旋转而轉变。此时  $\alpha \leq \beta$  即可啃入。 $\alpha > \beta$  时则不易自由喂入。然而将輥面加工成多角形

后就出现了另一种情况。

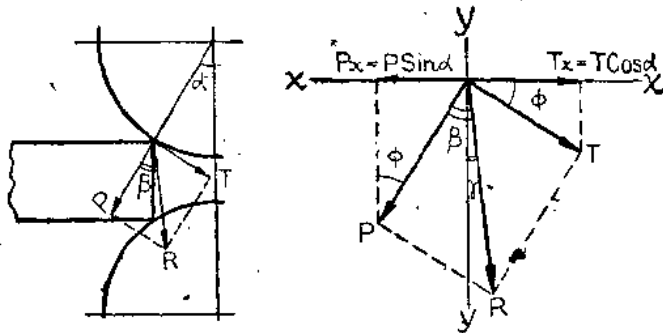


图 9

我们可以拿图 10、11、12 来进行比较：它们的其他条件完全相同，只是轧辊旋转的角度不同。当辊径等于  $D_p$ （内切圆直径）压下量  $= \Delta h$  时，已构成咬入的临界状态  $\alpha = \beta = \phi$ 。

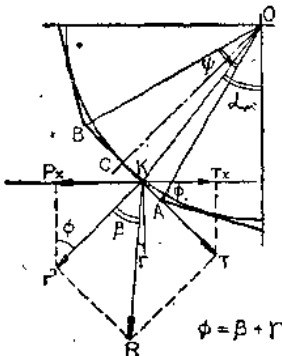


图 10

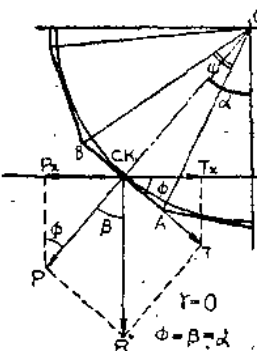


图 11

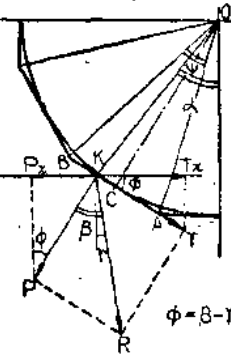


图 12

图10表明轧件端部与辊面接触点K位于某一圆心角中线的内侧。

$\psi$ =圆心角。  $\alpha$ =接触角。  $\beta$ =摩擦角。  
 $\gamma$ =位移角。  $D_p$ =工作辊徑。  $p$ =正压力。  
 $\phi$ =投影角。  $\alpha_e$ =圆心角分角綫。  $T$ =摩擦力。

因为K点处在多边形的一边上，该点之斜率显然比处在同位圆弧面上的斜率为大，其差值为 $\operatorname{tg}\gamma$ 。此时影响啃入的水平方向力的情况是：

$$\begin{aligned} \phi_1 &= \beta + \gamma \quad \therefore \phi_1 > \beta \\ P \sin \phi_1 &> T \cos \phi_1 \\ P_x &> T_x \end{aligned}$$

因而未达到临界状态不得自由啃入。

从图示中可清楚的看到K点在C点之内侧时，啃入角因位移角 $\gamma$ 而恶化，轧輶继续旋转，当K点位于C点时(如图11)：

$$\alpha = \beta = \phi \quad \beta = \phi \quad \text{则 } \operatorname{tg}\beta = \operatorname{tg}\phi$$

$$\text{亦即: } -\frac{T}{P} = \frac{\sin \phi}{\cos \phi}$$

$$T \cos \phi = P \sin \phi$$

$T_x = P_x \rightarrow$  形成临界啃入状态。

$$\text{图12: } \phi = \beta - \gamma \quad \phi < \beta$$

$$\operatorname{tg}\phi < \operatorname{tg}\beta$$

$$\frac{\sin \phi}{\cos \phi} < \frac{T}{P}$$

$$P \sin \phi < T \cos \phi$$

$$P_x < T_x$$

此时啃入条件因 $\gamma$ 角而得到改善。

从以上这三种情况的分析，可以看出多角形辊面所以能改

善啃入条件，其原因在于：随着轧辊旋转，多角形的特性改变了接触点力的几何状态。

## 五、具体施工的几个問題

1. 确定多角形的边数: 从上一节的分析中可以看出, 恶化或改善喟入条件的重要因素是位移角 $\gamma$ 。

$\phi = \beta + \gamma$  时恶化了哨兵条件。

$\phi = \beta$ ;  $\gamma = 0$  临界状态。

$\phi = \beta - \gamma$  时改善了喷入条件。

然而 $\gamma$ 角到底有多大的变化范围呢?从图13中不难看出 $\gamma$ 角的变化范围在 $\psi/2 \sim 0 \sim -\psi/2$ 之间。

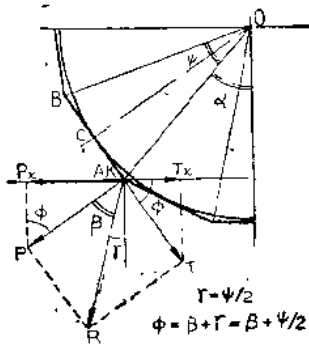


图 13

因此喟入条件的改善和圆心角有关，更确切的說是和多边形的边(角)数有关。

单纯从理论上讲  $\phi = \beta - \gamma$   $\gamma$  角愈大愈好也就是  $\phi$  角

愈大愈好，这就要求多角形的边(角)数少。

然而在实际生产中却不允许我们采用过少的边数，这是因为：

(一) 轮件延长度方向发生太大的厚度差，不均匀的变形程度增大，消耗能量大、展宽大，容易出现缺陷。

(二) 在实际生产时很难保证上、下辊面的边角一一对应。很可能碰到一辊是改善啃入条件，但另一辊是在恶化啃入的位置上，如此则将抵消一部分或乃至全部。

而边数愈多则校正的机会也就愈多。更合理的方法是将一辊分成偶数份，另一辊分成奇数份。

鉴于以上两点，我们应该慎重的选取边数。我们在实际应用时是将辊周分成 20 等分(图 14)。

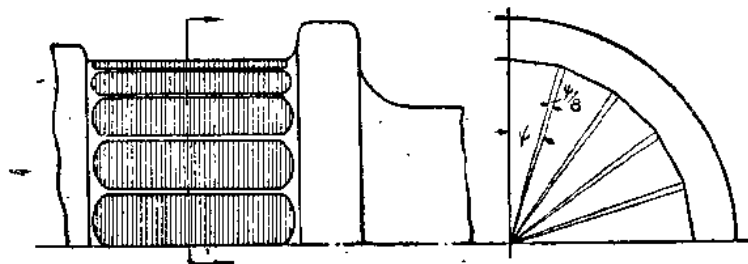


图 14

$$\text{此时每一周圆心角 } \psi = 360^\circ / 20 = 18^\circ$$

$$\text{位移角的理论最大值 } \gamma_{\max} = \pm \psi / 2 = \pm 9^\circ$$

$$\text{位移角的平均值 } \gamma_{cp} = \pm 4.5^\circ$$

按照理论分析，这样作应当比平辊增大啃入角  $4.5^\circ$ ，但实际只能增大啃入角  $3 \sim 3.5^\circ$ ，因为：

(1) 实际加工时不能将辊面做出尖角，否则会损伤零件表面。因此，保留圆弧部分占去一部分圆心角，按我厂之数据约为 $\psi/8$ ，在有效部分约损失 $1^\circ$ 左右。故啃入角增 $3\sim3.5^\circ$ 还是与计算符合的。

(2) 上下辊之边角不能保证一一对应，由于这种“错位”现象也会损失一些角度——“位移角”。

总之，边数的选取要使每个圆心角超过啃入角增值的二倍多一些，同时再考虑到不使零件厚度相差太多。

## 2. 加工方法及注意事项：

(一) 用刨床加工：轧辊车好后，将轧辊三角架固定在牛头刨床的工作台上，进刀方向与轧辊轴线垂直，根据辊面上预先做好的分度线进行加工，每刨好一条后，松开压板将轧辊旋转一角度继续加工，大约每1.5小时加工好一只。

这种方法的生产效率极低，轧辊加工需经过两种机床，增加了辅助工时，因此急待改进。

(二) 用仿形刀具车削：我厂机修车间吴如焕同志，为了使多角形轧辊加工工作尽量简化，设计成一种仿形刀具，这种刀具安装在普通车床上，按照轧辊旋转的角度送进退出，有规律地调节吃刀量，在辊面上车出多角形。它的简要结构如图15。

工作时将刀架滑座夹持在车床小刀架上，大齿轮安装在车床心轴头上。轧辊旋转时通过惰轮，使小齿轮传动，速比为5，则经滑轮传至凸轮时，轧辊转一周，凸轮转5周；又因凸轮曲线分为4等分，故轧辊旋转一周，凸轮将滑动刀架，推动20次。纵向进刀靠小刀架，横向行刀靠车床大拖板，滑键轴则起调节传动齿轮与刀架距离的作用，安装示意图见图16。

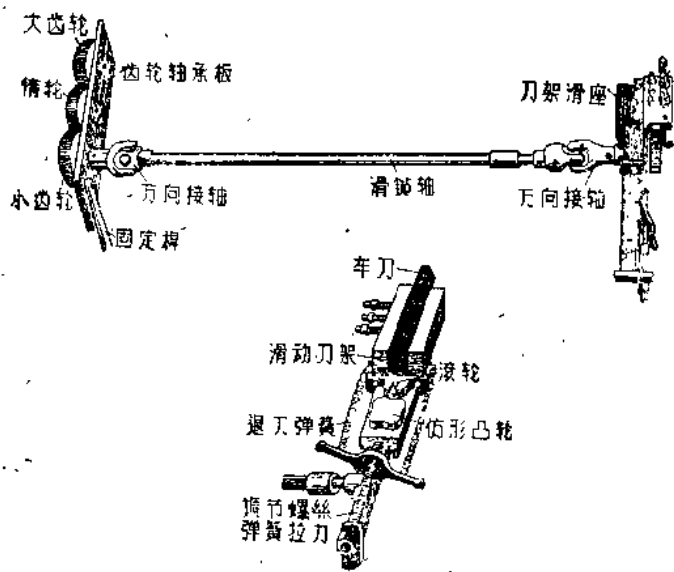


图 15 仿形刀具

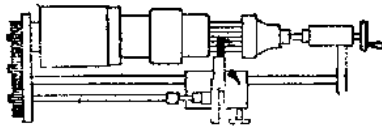


图 16 刀具安装示意图

凸輪的設計：凸輪由四瓣曲線構成，瓣間空角為  $11^\circ$ ，是為了保證車出的多角形輻面有一段為  $\psi/8$  的弧面（圖 17）。

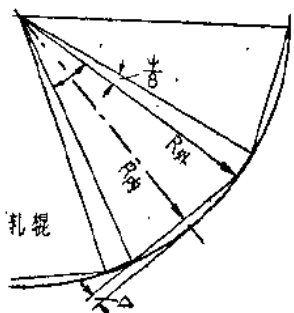


图 17 凸輪的設計

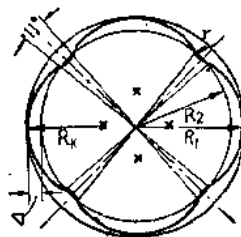


图 18 凸輪

$$R_1 - R_2 = \Delta$$

$$\Delta = \frac{R_{\text{内}}}{\cos \psi/2} - R_{\text{内}}$$

$$R_{\text{外}} - R_{\text{内}} = \Delta$$

$$= R_{\text{内}} \left( \frac{1}{\cos \psi/2} - 1 \right)$$

$$R_{\text{外}} = \frac{R_{\text{内}}}{\cos \psi/2}$$

$R_k$  由三点定圓法畫出。 $r$  為滾輪半徑。

(三) 加工後，要用銑刀將輻面尖角部分鏟平。

(四) 加工余量可根據多角形外接圓計算。

$$D_{\text{外}} = D_{\text{内}} / \cos \psi/2$$

$D_{\text{内}}$ ：內切圓（原平輻直徑）。

$\psi$ ：圓心角。

上海第十鋼廠 王德仁 張錫康